

بررسی اثر پرتوهای فرابنفش بر پایداری پلی یورتان در برابر زیست تخریب باکتریایی

Effect of Ultraviolet Radiation on Stabilization of Polyurethane Against Bacterial Deterioration

روحاکسری کرمانشاهی^۱، زهره صهبایی^۲، مجید میرمحمد صادقی^۱

۱- دانشگاه اصفهان، دانشکده علوم؛ ۲- اصفهان، خیابان مردابوچ، شرکت آب و فاضلاب استان اصفهان، واحد تحقیقات و بهبود بهره‌وری

دریافت: ۱۳۸۰/۱۰/۲۶، پذیرش: ۱۳۸۵/۹/۲۸

چکیده

معمولاً تخریب پلی یورتانها به وسیله واکنشهای آکسایش، گرماکافت، اکسایش، نورکافت و تخریب میکروبی انجام می‌گیرد. ساختار ویژه پلی یورتان، بررسی تخریب میکروبی و همچنین پایداری آن را در برابر این نوع تخریب مشکل می‌کند. هدف اصلی این پژوهش، مطالعه اثر پرتوهای فرابنفش در جلوگیری از تخریب باکتریایی یک نوع پیوند دهنده پلی یورتان پلی اتری به وسیله ۸ گونه باکتری (که قبلاً به عنوان مؤثرترین باکتریهای تخریب‌کننده پلی یورتان بررسی و معرفی شده‌اند) است. بنابراین، به منظور پایداری پلیمر در برابر تخریب باکتریایی، اثر پرتودهی در ناحیه فرابنفش به عنوان یک عامل استریل‌کننده سطح (طول موج برابر ۲۵۳/۷ nm و شدت برابر $152 \mu\text{W}/\text{cm}^2$) در مدت زمانهای مختلف آزمایش شده است. بررسی تخریب باکتریایی پلیمر به وسیله باکتریهای مورد آزمایش و عدم تخریب آن به وسیله پرتوهای فرابنفش با روش طیف‌سنجی FTIR و ATR-IR انجام گرفته است. البته، در چند مورد نیز جهت تأیید طیف IR از روش میکروسکوپی الکترون پویشی استفاده شده است. اشاره می‌شود که برای ارزیابی بهتر نتایج، پلی یورتان به عنوان تنها منبع کربن و انرژی، تحت اثر تعلیق باکتریایی قرار گرفته است. نتایج نشان می‌دهد که پرتودهی در ناحیه فرابنفش با طول موج ۲۵۳/۷ nm و شدت $152 \mu\text{W}/\text{cm}^2$ در مدت زمانهای حدود ۵۵ تا ۶۰ دقیقه (یا به عبارت دیگر با پرتوهای فرابنفش با دوز $0/55 \text{ W}/\text{cm}^2$) در جلوگیری از تخریب باکتریایی پلی یورتان مورد آزمایش بطور تقریباً کامل موثر است.

واژه‌های کلیدی: پلی یورتان، زیست تخریب، پایداری، پرتودهی فرابنفش، تخریب پلیمر.

Key Words: polyurethane, deterioration, stabilization, ultraviolet radiation, polymer degradation

مقدمه

در حال افزایش است، توجه پژوهشگران را به خود جلب کرده است. واکنشهای گرماکسایش، نوراکسایش، تخریب میکروبی، نورزیست اکسایش و آکسایش از مهمترین مکانیسمهای تخریب‌کننده پلی یورتانها بشمار می‌روند. با توجه به کاربردهای بسیار متنوع پلی یورتانها در صنایع

پدیده تخریب، نتیجه واکنشی برگشت‌ناپذیر است که در واقع بر خصوصیات مهم هر نوع پلیمر اثر می‌گذارد. تخریب پلی یورتانها، به عنوان گروه مهمی از پلیمرها که امروزه تولید و مصرف آنها بسرعت

تمام ميكروارگانيسمها عموميت دارند. همچنين، پيشهاد شده است كه در ساختار يورتانهاى اترى كه حساسيت متوسطى دارند، حمله آنزيمى تنها زمانى اتفاق مى افتد كه يك زنجير كرين بدون شاخه و بلند بين پيوندهاى يورتان پليمر گسترش يافته باشد يا سه گروه متيلن در مجاورت يكديگر قرار گيرند. در شكلهاى مقاومتر، كمتر از سه گروه متيلن در کنار هم قرار مى گيرند. آلکان دی‌الهاى كوتاهتر و محصولات دى‌ال شاخه‌دار در برابر تخريب ميكروبي مقاوم‌اند، زيرا اين مواد مانع از برخورد آنزيمها با گروههاى حساس مى‌شوند [۳]. نتايج بررسىهاى مختلف روى خواص فيزيكى و شيميايى الاستومرهاى پلى‌يورتان خصوصاً نوع پلى‌استر آن طى فرايندهاى تخريب ميكروبي نشان مى‌دهد كه تجزيه زيست شناختى پلى‌يورتانها اصولاً موجب ايجاد تغييرات شيميايى در ساختار پليمر مى‌شود [۴].

فيليب در سال ۱۹۷۸ تخريب ميكروبي اسفنجهاى انعطاف‌پذير پلى‌يورتان با ميكروارگانيسمهاى خاك را به وسيله طيف‌سنجى زيرقرمز بررسى كرد [۵]. او نشان داد كه بعد از قرار دادن اسفنج پلى‌استر پلى‌يورتان با مخلوطى از اين ميكروارگانيسمها در آنكوباتور به مدت ۳۰ روز، دو پيك ايزوسيانات در نواحى ۲۳۱۵ و 2120 cm^{-1} تقريباً بطور كامل ناپديد مى‌شوند و از نوار جذبى قوى ناحيه كربونيل استر و گروههاى يورتان در ناحيه 1715 cm^{-1} تنها يك پيك ضعيف باقى مى‌ماند. همچنين، مشخص شد كه نواحى اوره، آميد، يورتان و ايزوسيانورات بعد از نواحى استرى يا اترى مورد حمله ميكروبي قرار مى‌گيرند.

سارتز و همكاران در سال ۱۹۸۱ تجزيه و آزاد شدن آمينهاى آروماتيك سمي را از اسفنجهاى پلى‌يورتان دارى ^{14}C طى تخريب ميكروبي بررسى کرده [۶] و براى نشان دادن آمينهاى آروماتيك آزاد شده در نتيجه آبكافت پلى‌يورتان از روش كروماتوگرافى لايه نازك استفاده كردند. مقدار آمين آزاد شده در دماى محيط ناچيز و جزئى بود، اما در دماهاى بالاتر (50°C) آمينهاى آروماتيك در غلظتهاى كم تشخيص داده شد. اين پژوهشگران پيشهاد كردند كه در دماهاى محيط، آمينهاى توليد شده به وسيله ميكروارگانيسمها مورد استفاده قرار مى‌گيرد، اما در دماهاى بالاتر شرايط براى رشد ميكروارگانيسمها مساعد نيست و بنا بر اين، امكان تجمع آمين وجود دارد. در هر حال، پايدارسازى پليمر در برابر تخريب ميكروبي با تغيير و اصلاح ساختار شيميايى آن يا استفاده از مواد بازدارنده قابل انجام است.

يكى از بازدارنده‌هاى فيزيكى تخريب ميكروبي، پرتوهاى فراينفش است. طول موج اين پرتوها در محدوده ۲۱۰-۳۲۸ nm و حداكثر فعاليت باكترى‌كشى آن به طول موج ماكسيم جذب

مختلف، دامنه نتايج نامطلوب حاصل از تخريب ميكروبي اين نوع پليمرها نيز بسيار گسترده است. اين موارد از استهلاك تجهيزات نظامى تا عفونتهاى حاصل از استفاده از برش دهنده‌هاى پلى‌يورتانى در پزشكى را، كه بنام عفونتها يا آلودگيهاى سطحى پلاستيكي معروف است، در بر مى‌گيرد. بنا بر اين، پايدارسازى اين نوع پليمر در برابر تخريب ميكروبي از اهميت زيادى برخوردار است.

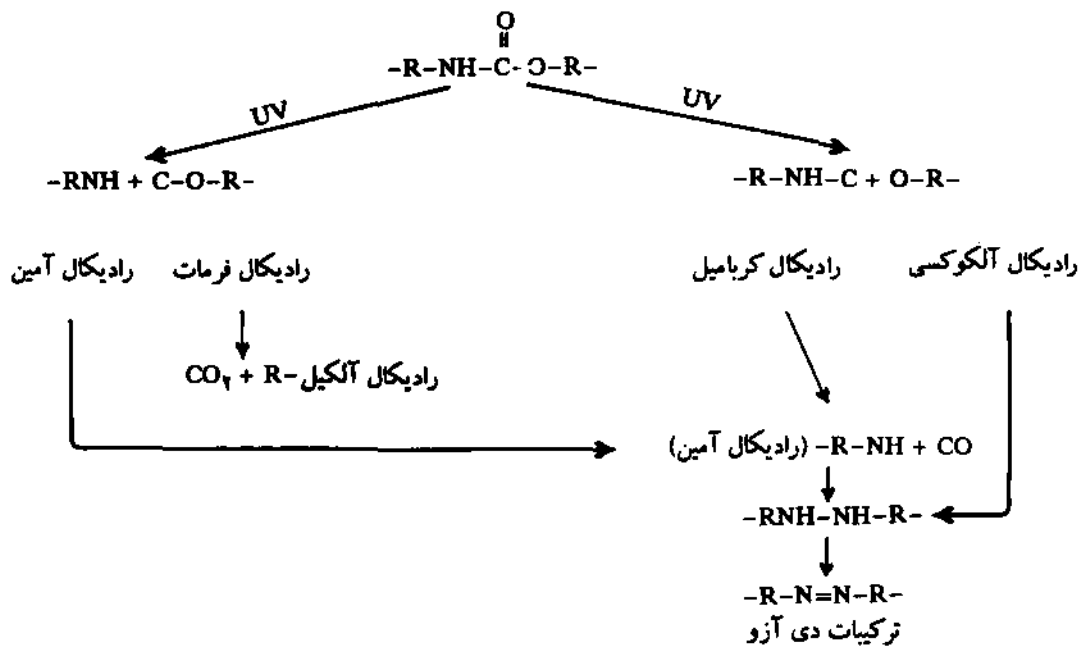
به منظور پايدارسازى پليمر در برابر عوامل تخريب‌كننده از آن جمله نوع ميكروبي، شناخت مكانيسم تخريب ميكروبي پليمر و ارتباط آن با ساير عوامل تخريب‌كننده زىستى و غيرزىستى، عوامل مؤثر در تعيين سرعت تخريب، روشهاى بررسى تخريب و خصوصاً ارتباط ساختار پليمر با تخريب ميكروبي ضرورى است.

مهمترين عوامل تخريب‌كننده پليمرها در محيط عبارتند از: اكسايش گرمائى و زىستى، نوركافت، نوراكسايش و نورزىست اكسايش [۱]. در واقع، اين طور مى‌توان نتيجه گرفت كه آنچه موجب تخريب پليمرها در محيط مى‌شود، تركيبى از عوامل زيست شناختى و شيميايى است [۲].

اكثريت پليمرهاى مصنوعى، نسبت به حمله ميكروبي مقاومند و تخريب ميكروبي آنها نيز به خواص فيزيكى و شيميايى مختلف وابسته است. مثلاً، پلى‌اتيلن با وزن مولكولى كم، به آسانى تحت تاثير رشد قارچى قرار مى‌گيرد و تخريب ميكروبي پلى‌وئينيل كلريدهاى نوع سخت و نرم يكسان نيست و نوع نرم آن آسانتر تخريب مى‌شود. رزين اوره-فرمالدهيد نيز به آسانى به وسيله ارگانيسمهاى خاك تخريب مى‌شود كه اين خود به خواص فيزيولوژيكي و فعاليتهاى آنزيمى ارگانيسم وابسته است.

طى آزمايشهاى كه كاپلن و داربى انجام دادند [۳]، مشخص شد كه پلى‌يورتانهاى استرى نسبت به حمله ميكروارگانيسمها حساس‌اند، درحالى كه پلى‌يورتانهاى اترى نسبت به آن مقاومت بيشترى دارند. علاوه بر تجزيه ميكروبي، فعاليت هيدروليتيكى آب يارطوبت روى پيوندهاى استرى نيز مى‌تواند تجزيه پلى‌استر و شكستگى آن را سبب شود. اين پژوهشگران ۲۲ پلى‌يورتان اترى و ۳ پلى‌يورتان استرى را مورد آزمون قرار دادند. تمام پلى‌استرها بشدت مورد حمله ميكروبي قرار گرفتند، درحالى كه اكثر پلى‌اترها نسبت به تخريب مقاومت زيادى داشتند. همچنين، اين پژوهشگران ثابت كردند كه پلى‌يورتانهاى حاصل از دى‌ايزوسياناتهاى خطى (۱، ۶- هگزامتيلن - دى‌ايزوسيانات) مقاومتر از پلى‌يورتانهاى حاصل از دى‌ايزوسياناتهاى حلقوى‌اند [۳].

يكى از دلايل حساسيت زياد پلى‌استر پلى‌يورتان، نسبت به حمله ميكروبي اين است كه آنزيمهاى استراز تقريباً در بين



طرح ۱- مکانیسم تخریب پلی یورتان به وسیله پرتوهای فرابنفش.

شده است. البته لازم به ذکر است که مقاومت پلی یورتانها نسبت به پرتو فرابنفش نسبتاً خوب است. اغلب آنها به علت قرار گرفتن در معرض نور خورشید تیره و کدر می شوند، ولی این موضوع دلیل زوال و نابودی آنها نیست. در صورتی که مقادیر کمی دوده به پلی یورتان اضافه گردد، این اثر به کمترین مقدار خود می رسد. از طرف دیگر، همان طور که قبلاً نیز اشاره شد، ماکسیم جذب فرابنفش به وسیله فیلمهای پلی یورتان در ناحیه ۳۳۰nm است. بنابراین، احتمال تخریب پلی یورتان مورد آزمایش، تحت شرایط موجود در این پژوهش (طول موج برابر ۲۵۲/۷ nm) بسیار کم است.

در این پژوهش، به منظور بررسی تخریب باکتریایی پلیمر یا مهار آن به وسیله پرتوهای فرابنفش از دو روش استفاده شد. در روش اول، بررسی فیزیکی ساختار مولکولی نمونه های مورد آزمایش به وسیله طیفسنجی ATR-IR و طیفسنجی زیرقرمز تبدیل فوریه (FTIR) انجام گرفت. در روش دوم، بررسی فیزیکی ساختار سطحی نمونه های مورد آزمایش با میکروسکوپ الکترون پویشی انجام شد.

تجزیه

مواد

محیط کشت ماده مغذی آگار (NA)، محیط کشت ماده مغذی برات

DNA یعنی ۲۶۰ nm نزدیک است. این نکته از این نظر مهم است که DNA هدف پرتوهای فرابنفش قرار می گیرد. استفاده عملی از پرتوهای فرابنفش به میزان کشندگی این پرتو روی عواملی مانند مخمرها، کپکها، باکتریها، ریکتسیاها، مایکوپلازماها و ویروسها وابسته است [۷].

پرتودهی در ناحیه فرابنفش دارای اثر مشابهی بر ارگانسیمهای گرم منفی و گرم مثبت است و دوز کشنده برای اکثر باکتریهای معمولی و غیراسپورزا از ۱۸۰۰ تا ۶۵۰۰ $\mu\text{W}/\text{cm}^2$ متغیر است. اسپوره های باکتریایی با بیش از ۱۰ برابر آن مقدار کشته می شوند [۸].

آلبرتسون و همکاران در سال ۱۹۸۷ طی تحقیقاتشان روی مکانیسم تخریب میکروبی پلی اتیلن پیشنهاد کردند که بین نوراکسایش و تخریب میکروبی پلی اتیلن اثرگذاری مضاعف وجود دارد [۹]. در ابتدای تخریب، پرتوهای فرابنفش به عنوان عامل اکسیدکننده عمل می کند و زمانی که گروه های کربونیل حاصل شد، این گروه ها به وسیله میکروارگانسیمها که قابلیت تخریب قطعات کوچکتر زنجیرهای پلی اتیلن را دارند، مورد حمله قرار می گیرد و در پایان کربن دیوکسید و آب حاصل می شود. گاجیوسکی و همکاران [۱۰] اثر پرتو فرابنفش را بر پلی یورتان چنین توجیه می کنند که یکی از دلایل ایجاد تخریب به وسیله پرتوهای فرابنفش تجزیه ناحیه R-NH-CO-O-R در ساختار این پلیمر و ایجاد رادیکالهای آمین، آلکیل و آلکوکسی و در نهایت ترکیبات دی آزو است. در ساختار یاد شده امکان گسستن دو نوع پیوند یعنی N-C و C-O وجود دارد. گسستگی پیوندها در طرح ۱ نشان داده

روشها

بررسى اثر پرتوهای فرابنفش بر رشد باكتریهائى مورد آزمایش در این پژوهش اثر پرتوهای فرابنفش به دو روش بررسى شد. در يك روش ۱ mL / ۰/۱ تعلق باكتریهائى دارى ۱۰^۸-۱۰^۷ (بر طبق استاندارد مك فارلن) پس از سانتریفوژ و شستشو مستقیماً در معرض پرتوهای فرابنفش قرار گرفت. در روش دیگر پلیتهائى آگار مغذى دارى ۱ mL / ۰/۱ از تعلق باكتریهائى دارى همان تعداد باكترى روش اول (۱۰^۸-۱۰^۷ cfu/mL) در معرض پرتوهای فرابنفش قرار گرفت. زمانهائى بررسى برای پرتودهى ۵، ۱۰، ۱۵، ۲۰، ۳۰، ۴۰، ۵۰ و ۶۰ دقیقه در نظر گرفته شد.

روش محاسبه ضريب حساسیت

برای محاسبه ضريب حساسیت باكتریهائى نسبت به پرتوهای فرابنفش از معادله زیر استفاده شده است [۱۱]:

$$S_{UV} = \frac{\ln[(cfu)_d/(cfu)_0]}{d}$$

که در آن (cfu)_d برابر میانگین شمارش کلنى نمونه بعد از قرار گرفتن در معرض شدت خاصى از UV و (cfu)₀ برابر میانگین شمارش کلنى نمونه شاهد (در همان حجم از نمونه عمل آوری شده) و d برابر شدت پرتوهای فرابنفش (برحسب $\mu W/cm^2 s$) است که به وسیله آن باكترى عمل آوری شده است. درضمن، با استفاده از فرمول زیر:

$$K = It$$

می توان دوز پرتوهای فرابنفش لازم را برای از بین بردن باكتریهائى مورد آزمایش (K) محاسبه کرد. در فرمول فوق، I شدت پرتوهای فرابنفش و t مدت زمان لازم برای انهدام کامل میکروارگانيسم مورد آزمایش است.

بررسى اثر پرتوهای فرابنفش بر جلوهگیری از تخریب باكتریهائى پلی یورتان در این مرحله، قطعات پلیمر در محیط کشت مینیم آگار آزمایش شد. همچنین، اثر پرتوهای فرابنفش در مهار تخریب باكتریهائى پلیمر به وسیله هرگونه باكترى مورد آزمایش (پلیمر تحت تاثیر توأم باكترى مورد نظر و پرتوهای فرابنفش) بررسى شد. مطالعه پلیمر تحت اثر باكترى مورد نظر (به تهائى) و پرتوهای فرابنفش (به تهائى) و پلیمرى که هیچ نوع عمل آوری روی آن انجام نشده بود (پلیمر شاهد) نیز لازم و ضرورى به نظر می رسید.

به لای هر پلیت مینیم آگار که دارى ۲۵ mL محیط بود، ۲ g

(NB)، محیط کشت مینیم آگار (MA) دارى نترات آمونیوم (۲ g/L) و آگار آگار (۱۵ g/L) با pH برابر ۷/۴، اتانول ۹۹ درصد، آب اکسیژنه ۳ درصد و پلی یورتان به ابعاد ۱۵×۲۰ cm به رنگهائى زرد و سیاه است.

پلیمر مورد بررسى در این پژوهش، يك سیستم پلی اترى پلی یورتانى است که در صنایع نظامى کاربرد دارد و از نوع سوخت جامد مرکب پلی یورتان - آمونیوم پرکلرات است که در آن پلی یورتان به عنوان پیوند دهنده و بافت اصلی، بلورهائى اکسیدکننده آمونیوم پرکلرات را در بر مى گیرد.

سوخت جامد مرکب پلی یورتان - آمونیوم پرکلرات از دو جزء تشکیل یافته است:

- سیستم پیوند دهنده پلی یورتانى، که از پلی اکسى پروپیلن گلیکول (PPG) و عامل شبکه ای کننده گلیسرول مونورسینولات (GMRO) و عامل پخت تولون دی ایزوسیانات (TDI) تشکیل شده است.

کاتالیزور مصرف شده فريك استیل استونات (FAA) است. مخلوط کردن مستقیم این سه جزء در کنار کاتالیزور FAA موجب تولید يك شبکه سه بعدى یورتانى می شود.

- عامل اکسید کننده، این عامل از نوع آمونیوم پرکلرات است. این نمک پر مصرف ترین اکسیدکننده بلورى در سوختهائى جامد است. وزن مولکولى آمونیوم پرکلرات ۱۱۷/۵، چگالى آن ۱/۹۵ g/cm³ و ظرفیت اکسیژن آن ۳۴ درصد است.

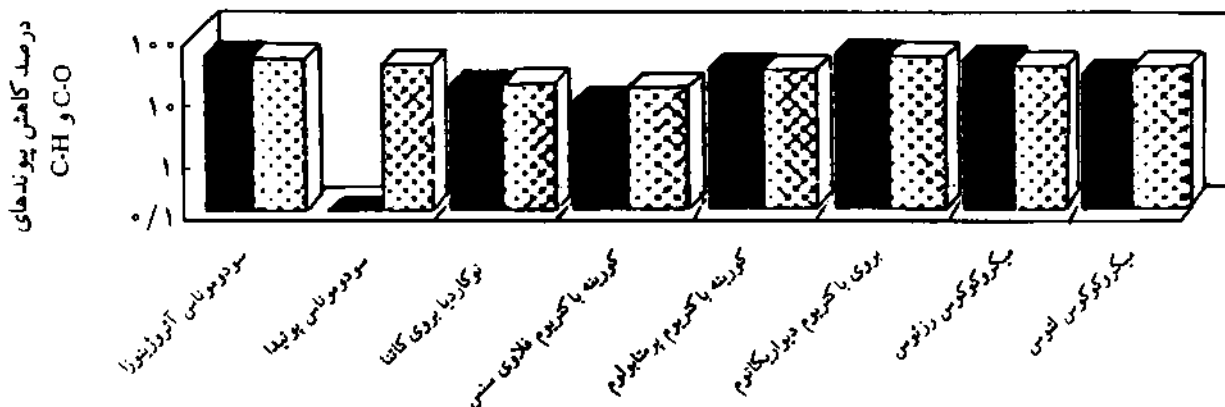
باكتریهائى مورد آزمایش

سودوموناس آئروژینوزا، سودوموناس پوتیدا، نوکاردیا بروی کاتا، کورینه باكتریوم فلاوى سنس، کورینه باكتریوم پرمتابولوم، بروی باكتریوم دیواریکاتوم، میکروکوکوس رزئوس، میکروکوکوس نوتوس.

دستگاهها

برای بررسى ساختار محصولات تخریب از طیف سنج FTIR-ATR مدل IFA-۸۸ ساخت آلمان استفاده شده است. عكسهائى SEM به كمك میکروسكوپ الكترونى دانشكده پزشكى دانشگاه علوم پزشكى اصفهان تهیه شد.

برای بررسى اثر پرتوهای فرابنفش از کابینت ایمنى با جریان آرام هوا که دارى دو لامپ جرمیسیدال (Jermicidal) الكتريكى معمولى بوده، استفاده شده است. طول موج پرتو حاصل از لامپ فوق ۲۵۲/۷ nm و درضمن توان هر لامپ ۳۰ W و شدت هرکدام ۷۶ $\mu W/cm^2 s$ است. بنابراین، شدت کل پرتوهای فرابنفش موجود در این جریان آرام ۱۵۲ $\mu W/cm^2 s$ است.



۲۱/۱	۳۷/۸	۴۶	۲۷	۷/۳	۱۴/۵	۰	۴۹	درصد کاهش C-O
۲۸/۲	۳۰	۴۳/۶	۲۵	۱۲/۸	۱۵/۴	۳۴	۴۴	درصد کاهش C-H

■ درصد کاهش C-O
□ درصد کاهش C-H

شکل ۱- بررسی تخریب باکتریایی پلی یورتان بر اساس طیفهای IR پلیمر تخریب یافته.

پلی یورتان مطابق شکل ۱ به ۴ دسته تقسیم می شوند [۱۳]:
دسته اول باکتریایی که پس از یک ماه قرار گرفتن در آنکوباتور در دمای 25°C بر نواحی مختلف ساختار مولکولی پلیمر اثر می گذارند. به عبارت دیگر، رشد این باکتریها روی پلی یورتان، موجب کاهش پیکهای جذبی C-H و C-O در تمام نواحی به میزان کم و بیش یکسان می شود. این باکتریها عبارتند از: سودوموناس آئروژینوزا و بروی باکتریوم دیواریکاتوم با اثر تخریب کنندگی نسبتاً شدید در کلیه نواحی پلیمر و کورینه باکتریوم پرمتابولوم و میکروکوکوس لوتوس با اثر تخریبی کمتر در کلیه نواحی پلیمر تقریباً بطور یکسان.

عکس میکروسکوپ الکترون پویشی (شکل ۲) مربوط به اثر باکتری سودوموناس آئروژینوزا (پس از ۳ ماه قرار گرفتن در آنکوباتور) بر ساختار سطحی پلیمر است که افزایش قطر منافذ پلیمر نسبت به پلیمر شاهد را نشان می دهد (شکل ۳) این عکس تا حدودی تأییدکننده طیف IR نمونه برداری از باکتری یاد شده (تخریب در کلیه نواحی ساختار مولکولی پلیمر) است، اما تأیید قطعی مسئله نیاز به تحقیقات بیشتری در این زمینه دارد.

دسته دوم باکتریایی است که پس از یک ماه قرار گرفتن در آنکوباتور در دمای 25°C در ناحیه C-O پلی یورتان، بیش از ناحیه C-H مؤثرند. به عبارت دیگر، در طیف IR مربوط به رشد باکتریهای یاد شده روی پلی یورتان، درصد کاهش پیک در ناحیه C-O بیش از ناحیه C-H است. باکتری میکروکوکوس رزنوس در این گروه قرار می گیرد و باکتری سودوموناس آئروژینوزا، علاوه بر گروه اول، در این گروه نیز می تواند قرار گیرد. البته، اختلاف درصد کاهش پیک مربوط به

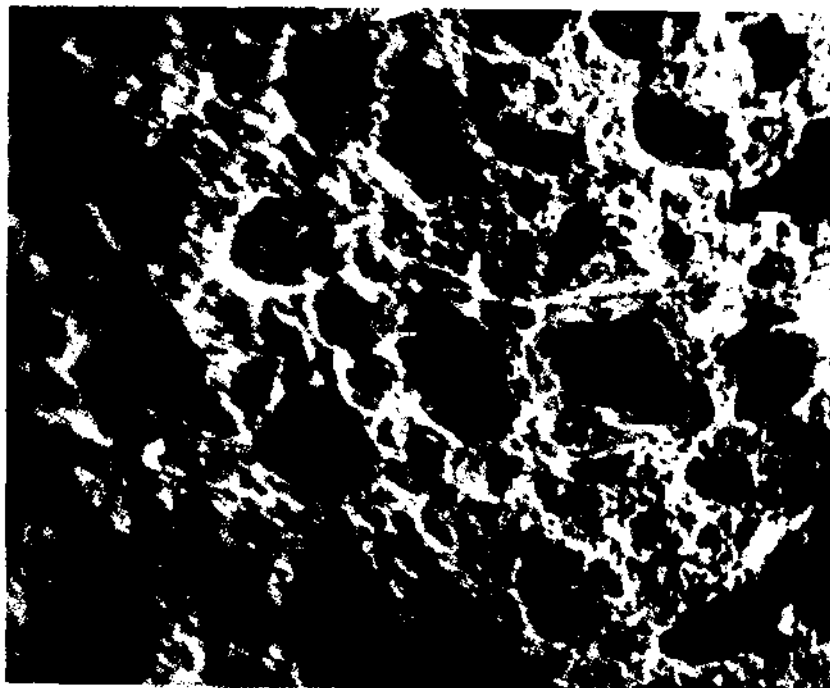
پلیمر در آن قرار گرفت که این نسبت در واقع ۸ درصد (وزن به حجم) است. در مورد قطعات $1 \text{ cm} \times 2 \times 2$ ، سه قطعه پلیمر و در مورد قطعات $3 \text{ cm} \times 1 \times 5$ ، دو قطعه پلیمر ۲ وزن داشت.

برای بررسی ساختار مولکولی، پس از استریلیزه کردن سطحی، بسته بندی و خشک کردن قطعات پلیمر در دمای 50°C (به مدت ۲۴ ساعت)، طیف IR هر یک از قطعات پلیمر (با توجه به عمل آوری مورد نظر و مشخص شده روی هر بسته) به کمک دستگاه FTIR تهیه شد. بجز مرحله اول آماده سازی قطعات پلیمر، کلیه مراحل این روش در مرکز تحقیقات مهندسی جهاد سازندگی تهران انجام گرفت.

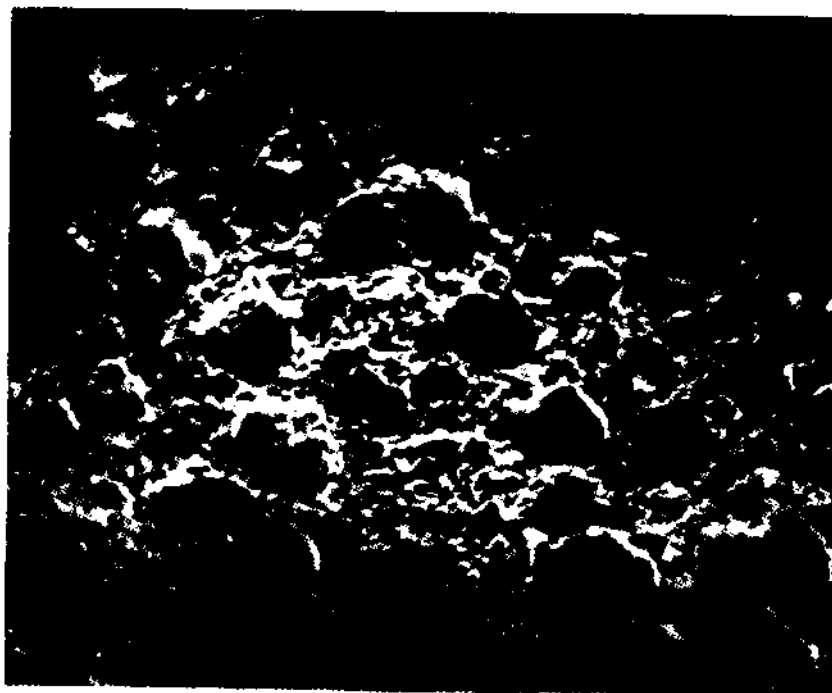
از میکروسکوپ الکترون پویشی به منظور بررسی مهار رشد باکتری روی پلیمر به وسیله پرتوهای فرابنفش استفاده شد. کلیه مراحل آماده سازی قطعات پلیمر همانند روش ATR-IR بود، با این تفاوت که پس از استریلیزه کردن سطحی، قطعات بسته بندی و خشک شدند. در ضمن، ابعاد قطعات بریده شده در این روش $1 \text{ cm} \times 5 \times 0.5$ یا $3 \text{ cm} \times 5 \times 0.5$ بود. برای مشاهده قطعات پلیمر، ابتدا نمونه در دستگاه خشک کن در نقطه بحرانی CO_2 خشک و سپس پوشش دهی شد [۱۲].

نتایج

بررسی تخریب باکتریایی پلی یورتان بطور کلی، باکتریهای مورد آزمایش از نظر تأثیر بر ساختار مولکولی



شکل ۲- عکس میکروسکوپی سطح نمونه پلیمر با باکتری سودوموناس آروژینوزا با بزرگنمایی ۱۰۰، مدت قرار گرفتن در آنکوباتور سه ماه، دما 25°C ، نوع پلیمر سیاه، نوع محیط کشت MA.



شکل ۳- عکس میکروسکوپی سطح نمونه پلیمر شاهد پس از استریزه کردن سطحی با بزرگنمایی ۱۰۰، مدت قرار گرفتن در آنکوباتور ۳ ماه، دما 25°C ، نوع پلیمر سیاه، نوع محیط کشت MA.

جدول ۱- بررسی مقایسه‌ای نتایج شمارش کلنی مربوط به اثر پرتوهای فرابنفش در زمانهای مختلف روی باکتریهای مورد آزمایش و ضریب حساسیت باکتریها نسبت به پرتوهای فرابنفش.

نوع باکتری	۵		۱۰		۱۵		۲۰		۳۰		۴۰		۵۰	
	میانگین	SUV	میانگین	SUV	میانگین	SUV	میانگین	SUV	میانگین	SUV	میانگین	SUV	میانگین	SUV
سودوموناس آئروژینوزا	۷/۱۲۵.۱۰ ^۲	۰/۰۱۷۲	۲/۹۵.۱۰	۰/۰۵۲	۲/۵	۰/۰۶۹	۰/۵	۰/۰۸	-	-	-	-	-	-
سودوموناس پوتیدا	۱/۰۶.۱۰	۰/۰۶	۰/۲۲۲	۰/۰۸	-	-	-	-	-	-	-	-	-	-
نوکارديا بروی کانتا	-	-	۱/۹۵.۱۰ ^۲	۰/۰۴	۲/۷۵	۰/۰۵	۲/۷۵	۰/۰۶۵	۱/۵	۰/۰۷	-	-	-	-
کوریته باکتریوفلاوی سنس	۵/۲.۱۰ ^۲	۰/۰۲	۱/۰۶.۱۰	۰/۰۶	-	-	-	-	-	-	-	-	-	-
کوریته باکتریوم پرماتوبلوم	۶/۰۲۲.۱۰ ^۲	۰/۰۱۸	۲.۱۰ ^۲	۰/۰۲۸	۱۰۶.۱۰	۰/۰۶	۰/۲۲۲	۰/۰۸	-	-	-	-	-	-
بروی باکتریوم دیواریکاتوم	۷/۵۶.۱۰ ^۲	۰/۰۱۶	۲/۸۶۶.۱۰ ^۲	۰/۰۲۸	۱/۹۶.۱۰	۰/۰۵۶	۱	۰/۰۷۵	-	-	-	-	-	-
میکروکوکوس رزئوس	۱/۸۲۵.۱۰ ^۲	۰/۰۲۶	۱/۸.۱۰ ^۲	۰/۰۴	۲.۷.۱۰	۰/۰۵	۱/۳۷.۱۰	۰/۰۵۷	۷/۷۵	۰/۰۶	۲/۷۵	۰/۰۶۶	۰/۷۵	۰/۰۷۷
میکروکوکوس لوتوس	غیرقابل شمارش	-	۲/۸.۱۰	۰/۰۵	۲/۷۵	۰/۰۶۵	۱/۲۵	۰/۰۷۲	-	-	-	-	-	-

* از آنجا که زمانهای پرتوهای ۵۵ و ۶۰ دقیقه مرگ کلیه میکروارگانیسمهای مورد بررسی را باعث شد، نتایج این زمانها در جدول نیامده است.

و باکتری میکروکوکوس رزئوس مقاومترین باکتری در برابر پرتوهای فرابنفش (با طول موج ۲۵۲/۷ nm و شدت ۱۵۲ μW/cm²s) است.

اثر پرتوهای فرابنفش بر ساختار مولکولی پلی‌یورتان

اثر پرتوهای فرابنفش (با همان طول موج و شدت و مدت زمان پرتوهای یک ساعت) در نواحی C-H و C-O کم است (در C-H کمی بیشتر از C-O است).

پژوهشگران در تحقیقات خود نشان دادند که پلی‌یورتانهای حاصل از ایزوسیاناتهای آروماتیک نسبت به واکنشهای تخریب نورشیمیایی، مقاومترند [۱۴]. این نوع پلی‌یورتانها وقتی که به مدت طولانی در معرض پرتوهای فرابنفش قرار گیرند، این عامل در ساختارهای مختلف پلی‌یورتان (یورتانها، اورها، آلفانانها، بی‌اورها، استرها و اتراها) و گروههای مختلف آن (COH, NH₂, NCO) در مجاورت اکسیژن یا بدون آن، موجب زرد شدن و شکسته شدن پیوندهای عرضی پلیمر می‌شود.

ماکسیم جذب پرتوهای فرابنفش به وسیله پیوندهای ۴.۲ و ۶.۲- تولوئن دی‌ایزوسیاناتها به ترتیب در نواحی ۲۷۱ و ۲۸۳ nm است. فیلمهای پلی‌یورتان حاصل از ۴.۲- و ۶.۲- تولوئن دی‌ایزوسیانات در ناحیه ۳۱۵ nm پرتوهای فرابنفش را بطور قوی و در نواحی ۳۱۵-۳۷۰ nm بطور ضعیف جذب می‌کنند. ماکسیم جذب پرتوهای فرابنفش به وسیله فیلمهای پلی‌یورتان در ناحیه ۳۳۰ nm است، درحالی که ماکسیم جذب پرتوهای فرابنفش به وسیله سونومردی یورتان در ۳۰۸ و ۳۱۰ nm است. دلیل این اختلاف احتمالاً به پیوندهای هیدروژنی قوی در پلیمر مربوط می‌شود.

در این پژوهش، با توجه به نتایج تحقیقات بالا و موارد زیر تاثیر

پیوندهای C-O و C-H در مورد این باکتری کمتر از اختلاف درصد کاهش پیک دو پیوند مربوط به اثر رشد باکتری میکروکوکوس رزئوس است.

دسته سوم باکتریایی است که در ناحیه C-H پلی‌یورتان بیش از ناحیه C-O مؤثرند. درصد کاهش پیک در ناحیه C-H، در اثر رشد باکتریهای یاد شده، بیش از درصد کاهش پیک در ناحیه C-O است. در مورد باکتریهای مورد آزمایش، تنها باکتری سودوموناس پوتیدا (که به مدت یک ماه در دمای ۲۵ °C در آنکوباتور قرار گرفته است) این حالت را نشان می‌دهد. باکتری سودوموناس آئروژینوزا روی پلی‌یورتان، که در دمای ۴۰ °C بمدت ۴ ماه در اتو قرار گرفته بود، نیز روی پیوند C-H، بیش از پیوند C-O مؤثر است.

با توجه به زیاد بودن انرژی C-H نسبت به C-O این نتیجه بسیار جالب توجه است، ولی بهرحال برای تایید قطعی، تحقیقات بیشتر و استفاده از امکانات دستگاهی مجهزتر لازم است.

دسته چهارم باکتریایی هستند که همانند گروه اول بر کلیه نواحی ساختار مولکولی پلیمر مؤثرند، اما درصد اثر آنها بر پلی‌یورتان نسبتاً کم است. باکتریهای نوکارديا بروی کانتا و کوریته باکتریوم فلاوی سنس (که در دمای ۲۵ °C و به مدت یک ماه در آنکوباتور قرار گرفته است) در این گروه قرار می‌گیرند.

اثر پرتوهای فرابنفش بر باکتریهای مورد آزمایش

جدولهای ۱ و ۲ و شکل ۴ نتایج مربوط به اثر پرتوهای UV بر باکتریهای مورد آزمایش را نشان می‌دهند.

با توجه به جدولها و نمودار یاد شده می‌توان نتیجه‌گیری کرد که در بین باکتریهای مورد آزمایش، باکتری سودوموناس پوتیدا حساسترین

جدول ۲- دوز پرتوهای فرابنفش جهت غیرفعالسازی کامل باکتریهای مورد آزمایش.

دوز پرتوهای فرابنفش (W/cm^2)	باکتری
۰/۲۷۳۶	سودوموناس آئروژینوزا
۰/۱۳۶۸	سودوموناس پوتیدا
۰/۳۶۴۸	نوکاردیا بروی کاتتا
۰/۱۸۲۴	کورینه باکتریوم فلاوی سنس
۰/۲۷۳۶	کورینه باکتریوم پرمتابولوم
۰/۲۷۳۶	بروی باکتریوم دیواریکاتوم
۰/۵۴۷۲	میکروکوکوس رزئوس
۰/۲۷۳۶	میکروکوکوس لوتوس

بدین وسیله از تخریب پلیمر به وسیله باکتریهای یاد شده جلوگیری به عمل می‌آورد،

- رشد باکتریهای کورینه باکتریوم فلاوی سنس و میکروکوکوس لوتوس را روی پلی‌یورتان بطور نسبتاً کامل مهار می‌کند و

- رشد باکتریهای سودوموناس آئروژینوزا، کورینه باکتریوم پرمتابولوم و بروی باکتریوم دیواریکاتوم را تا حدودی و نه بطور کامل مهار می‌کند.

مهار نسبتاً متوسط باکتریهای حالت مورد اخیر در محیط MA و در مجاورت پلی‌یورتان، در شرایط یک ساعت پرتودهی در ناحیه فرابنفش با مهار کامل باکتریهای یاد شده در عرض حداکثر ۳۰ دقیقه پرتودهی در این ناحیه در محیط NA، مغایرت دارد.

از آنجاکه در این پژوهش، تعلیق باکتریهای مورد آزمایش، پس از قرار گرفتن روی پلی‌یورتان، به کمک پرتودهی در ناحیه فرابنفش عمل‌آوری شدند، یکی از دلایل احتمالی مغایرت دو مورد فوق، نفوذ بیشتر باکتریهای سودوموناس آئروژینوزا، کورینه باکتریوم پرمتابولوم و بروی باکتریوم دیواریکاتوم نسبت به سایر باکتریهای مورد آزمایش به داخل ماتریس پلیمر، قبل از عمل‌آوری بوسیله پرتوهای فرابنفش و همچنین، عدم نفوذ پرتوهای فرابنفش به داخل ماتریس پلیمر است (پرتوهای فرابنفش یک استریل‌کننده سطحی است).

دلیل احتمالی دیگر این مغایرت اثرگذاری مضاعف اکسایش حاصل از پرتوهای فرابنفش و تخریب میکروبی حاصل از باکتریهای یاد شده است.

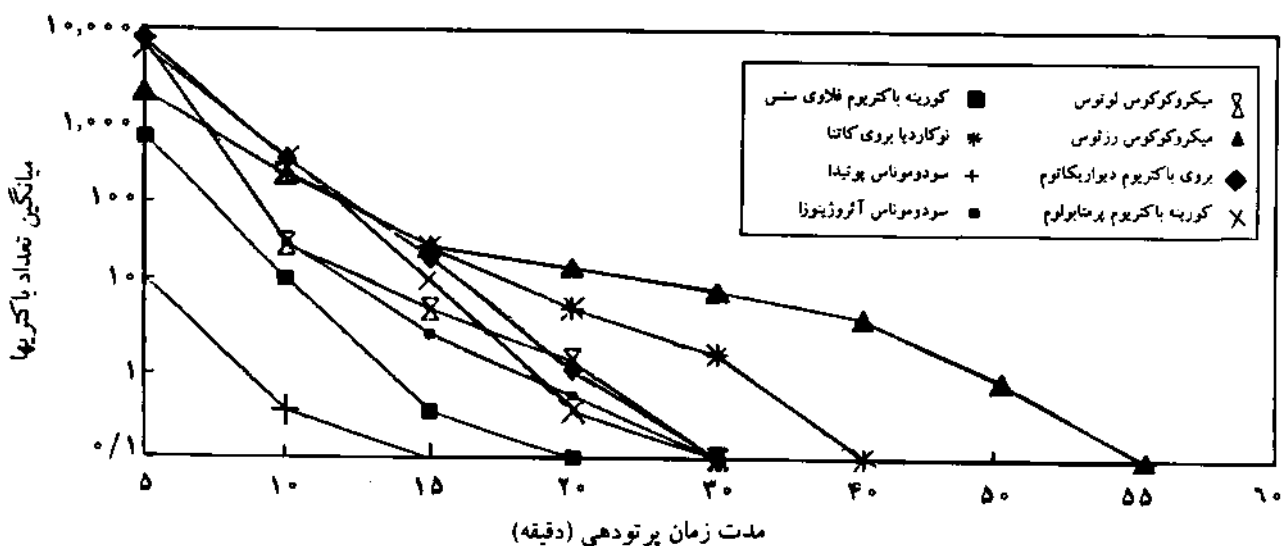
کم پرتوهای فرابنفش بر پلی‌یورتان دور از انتظار نیست:

- پلی‌یورتان مورد آزمایش از نوع پلی‌یورتانهایی با پایه ایزوسیاناتهای آروماتیک است،

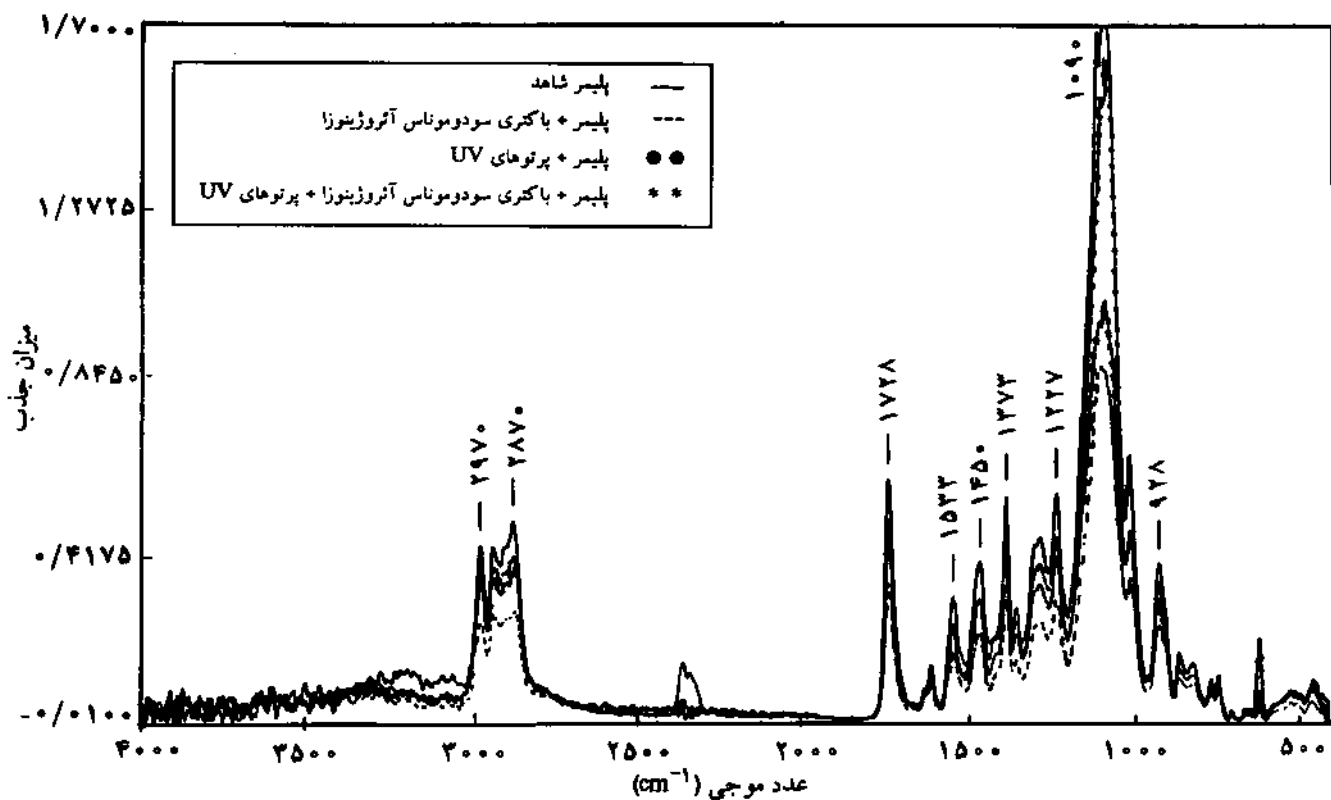
- طول موج پرتوهای فرابنفش که پلیمر در معرض آن قرار گرفت ۲۵۳/۷ nm و مدت زمان پرتودهی کم و تنها ۱ ساعت بود.

اثر پرتوهای فرابنفش در مهار رشد باکتریهای مورد نظر روی پلی‌یورتان شکلهای ۵ تا ۸ و جدول ۳ نشان می‌دهد که پرتودهی در ناحیه فرابنفش با طول موج ۲۵۳/۷ nm، شدت $152 \mu W/cm^2 s$ و مدت زمان پرتودهی ۱ ساعت آثار زیر را در مهار رشد باکتریها دارد:

- رشد باکتریهای سودوموناس پوتیدا، نوکاردیا بروی کاتتا و میکروکوکوس رزئوس را روی پلی‌یورتان بطور کامل مهار می‌کند و



شکل ۴- بررسی اثر پرتودهی در ناحیه فرابنفش بر باکتریهای مورد آزمایش.



شکل ۵- بررسی اثر پرتوهای UV در جلوگیری از تخریب میکروبی پلی یورتان به وسیله باکتری سودوموناس آئروژینوزا (مدت قرار گرفتن در آنکوباتور ۱ ماه، دما C ۲۵، نوع پلیمر زرد و نوع محیط کشت MA).

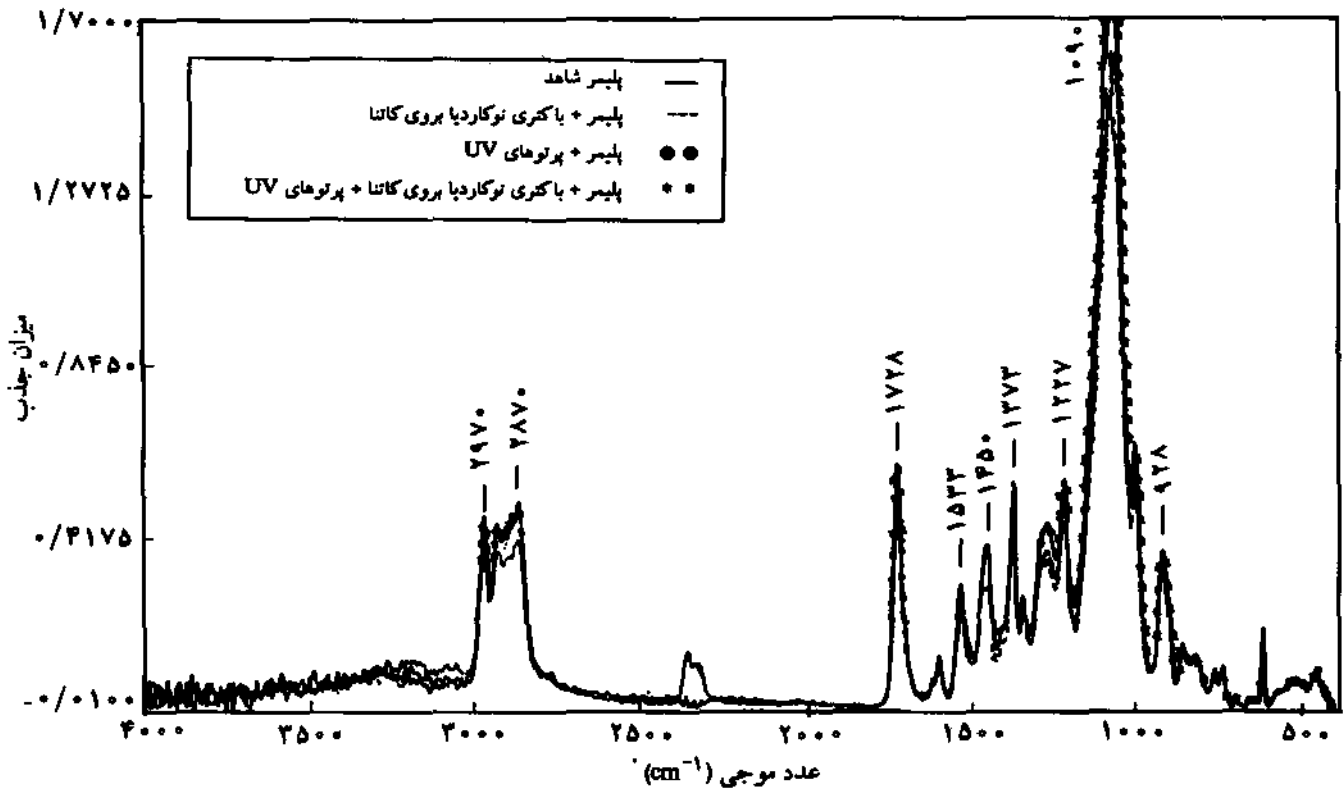
پلی یورتان موجب تولید دی اسیدها، دی آمینها و دی الکلها می شود. دی اسیدها و دی الکلها در نتیجه آبکافت پلی استر و دی آمینها در اثر آبکافت واحدهای یورتان حاصل می شوند [۱۵].
ظاهر شدن یک پیک کربونیل در ناحیه 1685 cm^{-1} طی تخریب، نشان دهنده ایجاد گروههای کربوکسیل است. کاهش

بحث

پاتیرانا و سیل ضمن تحقیق روی تغییرات خواص شیمیایی پلی یورتان در نتیجه تخریب میکروبی، که به وسیله طیفسنجی IR و کروماتوگرافی لایه نازک انجام گرفت، پیشنهاد کردند که آبکافت

جدول ۳- اثر باکتریهای مورد آزمایش بر ساختار مولکولی پلی یورتان [۱۳]

پلیمر + باکتری + UV			پلیمر + باکتری			کاهش جذب و نسبت آنها باکتری
C-O/C-H	درصد C-H	درصد C-O	C-O/C-H	درصد C-H	درصد C-O	
۱/۷	۲۲	۲۹	۱/۱۱	۳۴	۴۹	سودوموناس آئروژینوزا
-	۰	۲	-	۳۴	۰	سودوموناس پونیدا
-	۰	۰	۰/۹۴	۱۵/۴	۱۴/۵	نوکار دیابروی کانتا
۱/۲	۱۹	۲۳	۰/۶	۱۲	۷/۲	کورینه باکتریوم فلاوی سنس
۰/۷	۱۰	۷	۱/۰۸	۲۵	۲۷	کورینه باکتریوم پرماتبولوم
۰/۲۶	۱۹/۵	۵	۱/۰۵	۳۴	۳۶	بروی باکتریوم دیواریکاتوم
۰/۰۹	۷/۵	۰/۷	۱/۲۶	۲۰	۲۸	میکروکوکوس رزئوس
۱/۲	۲۲/۵	۲۸	۰/۷۵	۲۸	۲۱	میکروکوکوس لوتوس



شكل ٦- بررسى اثر پرتوهاى UV در جلوگرى از تخريب ميكروبي پلى يورتان به وسيله باكتري نوكارديا بروى كاتا (مدت قرار گرفتن در آنكوپاتور ١ ماه، دما ٢٥ C، نوع پليمر زرد و نوع محيط كشت MA).

با وجود اينكه پرتودهى در ناحيه فرابنفش با طول موج ٢٥٢/٧ nm به مدت ٢٠ دقيقه، در محيط BNA در است باكتري فوق را كاملاً از بين ببرد، عدم مهار كامل رشد آن روى پلى يورتان به وسيله يك ساعت پرتودهى در ناحيه فرابنفش را مى توان به يكى از دلایل احتمالى زير مربوط دانست:

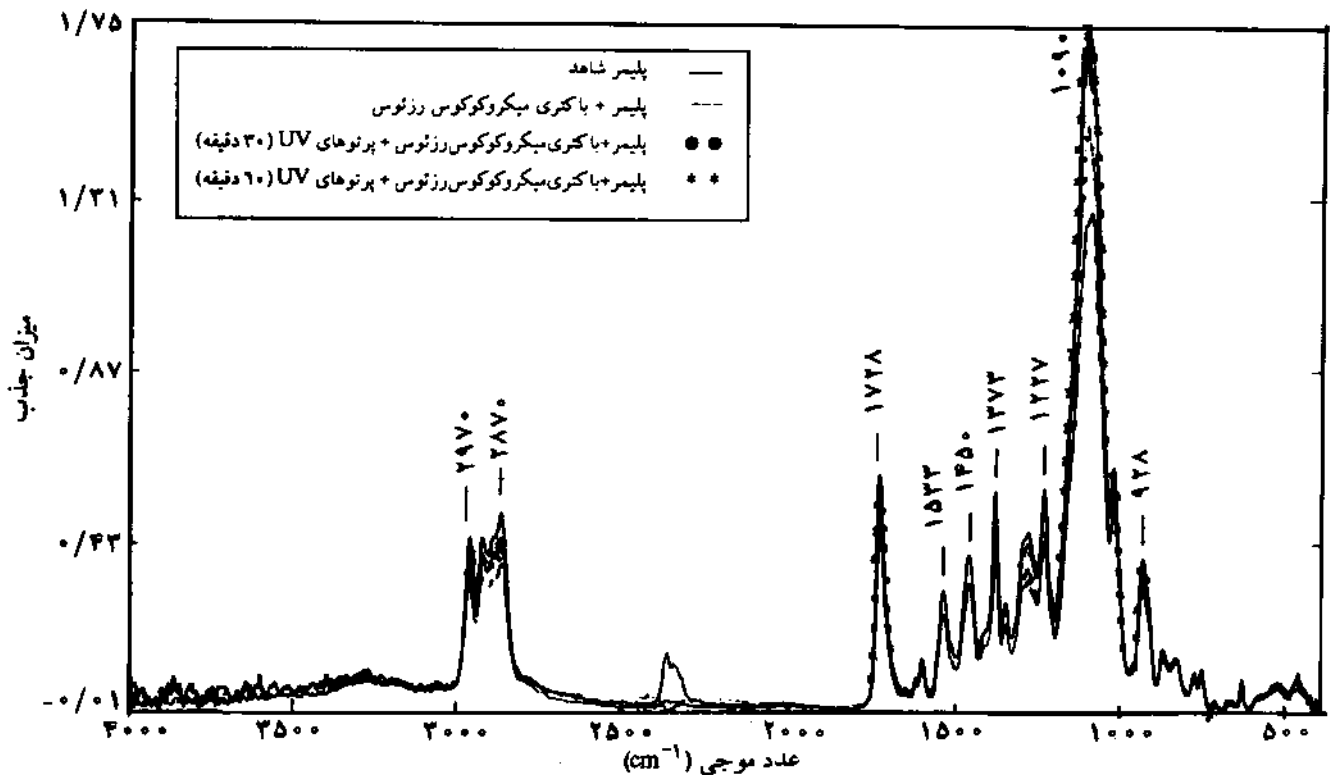
- نفوذ باكتري به داخل ماتريس پليمر قبل از قرار گرفتن در معرض پرتو فرابنفش،
 - اثر گذارى مضاعف باريكه پرتودهى در ناحيه فرابنفش و تخريب ميكروبي باكتري سودوموناس آئروژينوزا با وجود اثر اين پرتوها بر پلى يورتان (به تنهائى).

رشد باكتري سودوموناس پوتيدا روى پلى يورتان (در شرايط ٢٥ C و بمدت ١ ماه در آنكوپاتور)، کاهش جذب پيك C-H را بطور قابل ملاحظه اى بيش از پيك C-O سبب مى شود. با توجه به زياد بودن انرژى پيوند C-H، تأييد قطعى نتيجه فوق به تحقيقات و امكانات بيشترى نياز دارد. با وجود اينكه شكسته شدن پيوند C-H به وسيله باكتري سودوموناس پوتيدا قابل توجه است، اما پرتودهى در ناحيه فرابنفش (با دوز ٥/٥٥ W/cm^٢) از تخريب به وسيله اين باكتري، بطور

نسبى پيك C-H، کاهش گروههاى CH_٢ پلى يورتان را نشان مى دهد. دى اسيدها و احتمالاً الكلها، بخش اصلى گروههاى CH_٢ پلى يورتان را تشكيل مى دهند. بنا بر اين، کاهش نسبى تعداد پيوند C-H طى تخريب ميكروبي نشان دهنده کاهش گروههاى دى اسيد و دى الكل از پليمر است كه اين خود بر آبكافت ناحيه پلى استر پلى يورتان دلالت مى كند.

تمام نتيجه تحقيقات ياد شده خصوصاً کاهش نسبى تعداد پيوند C-H پلى يورتان طى تخريب ميكروبي با نتيجه اثر باكتريهاى مورد آزمايش روى خواص شيميايى پلى يورتان تا حد زيادى مطابقت دارد. رشد باكتري سودوموناس آئروژينوزا (در ٢٥ C به مدت ١ ماه) روى پلى يورتان، اثر تخريب كنندگى خود را در كليۀ نواحى پليمر اعمال مى كند. اثر مهار كنندگى پرتودهى در ناحيه فرابنفش با دوز ٥/٥٥ W/cm^٢ در اين مورد نسبتاً خوب است.

اثر مهار پرتودهى در ناحيه فرابنفش بر پيوند C-H بيش از C-O است، به عبارت ديگر اثر پرتوهاى فرابنفش بر تعلق باكتريايى سودوموناس آئروژينوزا کاهش جذب پيك C-O را بيش از C-H سبب مى شود.



شکل ۷- بررسی اثر پرتوهای UV در جلوگیری از تخریب میکروبی پلی یورتان به وسیله باکتری میکروکوکوس رزنوس (مدت قرار گرفتن در آنکوباتور ۶۰ ماه، دما ۲۵ °C، نوع پلیمر زرد و نوع محیط کشت MA).

پرتودهی در ناحیه فرابنفش (با دوز $0/55 \text{ W/cm}^2$) قابل ملاحظه و کامل است. نکته قابل توجه اینکه در بین باکتریهای مورد آزمایش، این باکتری مقاومترین نوع در برابر پرتوهای فرابنفش است.

اثر تخریب کنندگی باکتری میکروکوکوس رزنوس روی پلی یورتان، کلیه نواحی ساختار مولکولی پلیمر را در بر می گیرد. اثر پرتودهی در ناحیه فرابنفش با همان دوز در جلوگیری از تخریب حاصل از باکتری فوق تقریباً کامل است.

بنابراین، هرچند پرتوهای فرابنفش با شرایط موجود در این پژوهش اثر بسیار ناچیزی بر ساختار شیمیایی پلی یورتان دارد، به منظور کاهش اثرگذاری مضاهف فوق بین پرتودهی فرابنفش (به عنوان مهارکننده رشد باکتریها) و تخریب باکتریها استفاده از پایدارکننده های پلی یورتان در برابر پرتوهای فرابنفش پیشنهاد می شود. در این نوع پلیمر، گروه های مشخصی از ترکیبات به عنوان ضد اکسنده شناخته شده اند. ترکیبات آمینی آروماتیک، به عنوان پایان دهنده زنجیر رادیکالی عمل می کنند. تیواترها و فسفیتها نیز جذب کننده های پروکسیدند. همچنین، بتزوتربازولها و بتزوفنونها می توانند پرتوهای فرابنفش را جذب کنند و در مسیری بی ضرر مورد استفاده قرار دهند. ترکیب این عوامل به صورت

کامل جلوگیری می کند.

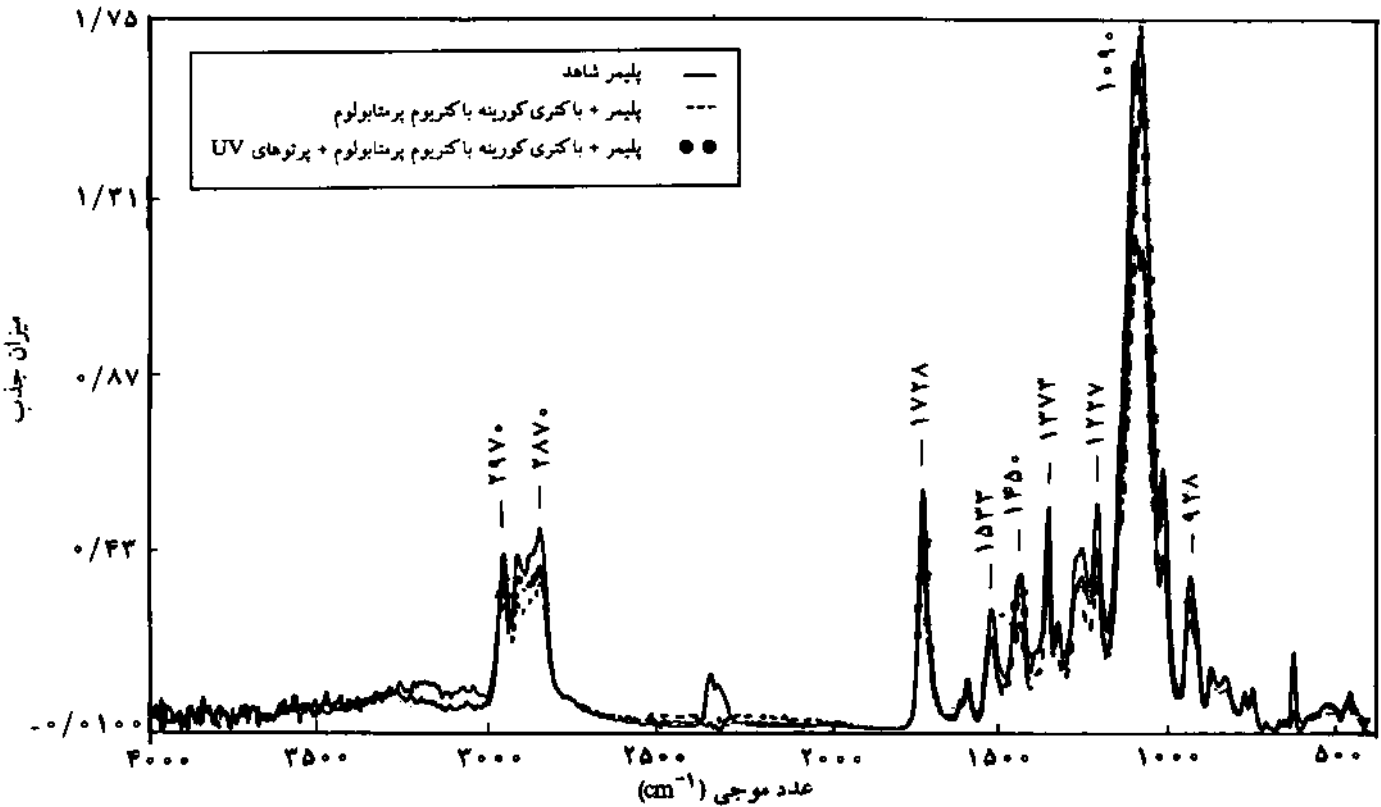
تخریب پلی یورتان با باکتری نوکاردیا بروی کاتنا (در شرایط 25°C و بمدت ۱ ماه در آنکوباتور) نسبتاً کم است، اما همین مقدار نیز به وسیله پرتودهی در ناحیه فرابنفش (دوز $0/55 \text{ W/cm}^2$) بطور کامل مهار می گردد.

اثر تخریب باکتری کورینه باکتریوم فلای سنس بر پلی یورتان نسبتاً کم است. البته پرتودهی در ناحیه فرابنفش با همان دوز رشد این باکتری را روی پلیمر پلی یورتان مهار می کند.

تخریب پلی یورتان به وسیله باکتری کورینه باکتریوم پرمتابولوم کلیه نواحی ساختار مولکولی آن را در بر می گیرد. رشد این باکتری به وسیله پرتودهی در ناحیه فرابنفش (با دوز $0/55 \text{ W/cm}^2$) تا حدودی قابل مهار است.

اثر تخریب باکتری بروی باکتریوم دیواریکاتوم، روی پلی یورتان، در کلیه نواحی ساختار مولکولی پلیمر نسبتاً شدید است. این اثر، به وسیله پرتودهی در ناحیه فرابنفش با دوز یادشده تا حدودی مهار می گردد.

اثر تخریب باکتری میکروکوکوس رزنوس روی پلی یورتان، در ناحیه C=O بیش از ناحیه C-H است. اثر مسهاریت کنندگی



شکل ۸- بررسی مهار رشد باکتری کورینه باکتریوم پرمتابولوم روی پلی‌یورتان به وسیله پرتو UV (مدت قرار گرفتن در آنکوباتور ۱ ماه، دما ۲۵ °C، نوع پلیمر زرد و نوع محیط کشت MA).

می‌دهد که پرتودهی در ناحیه فرابنفش با طول موج ۲۵۳/۷ nm و شدت ۱۵۲ S W/cm² در مدت زمانهای حدود ۵۵ تا ۶۰ دقیقه (یا به عبارت دیگر با پرتوهای فرابنفش با دوز ۵۵ W/cm²) روی جلوگیری از تخریب باکتریایی پلی‌یورتان مورد آزمایش به صورت زیر است:

- با وجودی که باکتری سودوموناس آئروژینوزا اثر تخریب‌کنندگی خود را در کلیه نواحی پلیمر اعمال می‌کند، اثر مهارکنندگی پرتودهی در این مورد نسبتاً خوب است.
- پرتوهای فرابنفش اثر تخریبی باکتریهای سودوموناس پوتیدا، نوکاردیا بروی کاتنا و میکروکوکوس لوتوس را کاملاً مهار می‌کند.

- این پرتوها در جلوگیری از تخریب پلی‌یورتان به وسیله باکتریهای کورینه باکتریوم پرمتابولوم و بروی باکتریوم دیواریکاتوم تا حدودی موثر است.

- میکروکوکوس زئوسوس در بین باکتریهای مورد آزمایش مقاومت‌ترین باکتری در برابر پرتوهای فرابنفش است، با این حال اثر مهارکنندگی پرتودهی در این مورد قابل ملاحظه و کامل است.

توأم، نیز بازدهی عمل را افزایش می‌دهد و از تغییر رنگ و از بین رفتن خواص پلی‌یورتان در برابر پرتوهای فرابنفش جلوگیری می‌کنند [۱۰] همچنین، پژوهشگران پیشنهاد کردند که اثر پرتوهای فرابنفش روی پلی‌یورتانهای با پایه TDI را می‌توان به وسیله استفاده از استرهای سالیسیلیک اسید، آمیدها و هیدرازیدها دفع کرد. با استفاده از مشتقات سالیسیلیک اسید نیز، می‌توان از زرد شدن پلی‌یورتانها در نتیجه اثر پرتوهای فرابنفش جلوگیری کرد [۱۴].

در نتیجه، با پایدار کردن پلی‌یورتان در برابر پرتوهای فرابنفش از تولید قطعه‌های کوچک که مورد استفاده میکروارگانایسمهاست جلوگیری شده و در نتیجه اثرگذاری مضاعف بین پرتوهای فرابنفش و تخریب میکروبی کاهش می‌یابد.

نتیجه‌گیری

اثر پرتوهای فرابنفش بر جلوگیری از تخریب باکتریایی پلی‌یورتان پلی‌اتری به وسیله ۸ گونه باکتری مختلف بررسی شد. نتایج نشان

7. Block S. S.; *Disinfection, Sterilization, & Preservation*; Lea and Febiger (Eds.), London, 4th ed., 674-91, 1991.
8. Willett J. and Wilfert A.; *Zinsser Microbiology*; 9th ed., Prentice-Hall International; 344, 1988.
9. Albertsson A. C., Andersson S. and Karlsson S.; *Polym. Deg. Stab.*; **18**, 73-87, 1987.
10. Gajewski V.; *Chem. Deg. Polyurethane*; 341, 1990.
11. Baron F. and et al.; *Diagnostic Microbiology*; 8th ed., Mosby, USA, 253, 1990.
12. Sawyer L. C. and Grubb D. T.; *Polymer. Microscopy*; Chapman and Hall USA, 91-110, 1987.
- ۱۳ - کرمانشاهی روحا کسری، صهبائی زهره و میرمحمدصادقی مجید، دانشگاه صنعتی اصفهان، دانشکده مهندسی مواد، اردیبهشت ۱۳۷۴.
14. Stumpe J. and Schwellick K.; *Polym. Deg. Stab.*; **17**, 103-16, 1987.
15. Pathirana R. A. and Seal K. J.; *Inter. Biodeterioration*; **21**, 2, 56, 1985.

فردانی

ارکارشناسان مرکز تحقیقات مهندسی جهادسازندگی تهران برای همکاری صمیمانه در اجرای این طرح سپاسگزاری می شود.

مراجع

1. Scott G.; *Poly. Deg. Stab.*; **29**, 135-54, 1990.
2. Antoun G. D. F. S., Lenz R. W., Goodwin S., Austin R. and Fuller R. C.; *J. Ind. Microbiol.*; **10**, 119-206, 1992.
3. Darby R. I. and Kaplan A. M.; *Appl. Microbiol.*; **16**, 900, 1968.
4. Pathirana R. A. and Seal K. J.; *Inter. Biodeterioration*; **21**, 1, 41-9, 1985.
5. Filip Z.; *Eur. J. Appl. Microbiol. Biotech.*; **5**, 225-31, 1978.
6. Martens R. and Domsch K. H.; *Water, Air and Soil Pollution*; **15**, 503-509, 1981.